

# مطالعه فرا ساختار و عمل غدد سبز در خرچنگ دراز آب شیرین

## *Astacus Leptodactylus*

صابر خدابنده\* و ناهید شکری

نور، دانشگاه تربیت مدرس، دانشکده منابع طبیعی، گروه بیولوژی دریا

تاریخ دریافت: 85/8/23 تاریخ پذیرش: 87/6/23

### چکیده

در این مطالعه ساختار عمومی، فراساختاری سلولها و مکان یابی آنزیم  $\text{Na}^+ - \text{K}^+$ ATPase در غدد شاخکی *Astacus leptodactylus* بررسی شد. هرگاهه از چهار بخش تشکیل یافته که شامل سلوموساک، لایبرنت، لوله ها و مثانه ای حجیم است که توسط یک مجرای کوتاه به سوراخ ادراری متصل شده است. مطالعه فراساختاری نشان داد که سلوموساک ماهیت پودوسیتی دارند. این سلولها دارای سیستمهای کمپلکس گلزاری، واکوئلهای، وزیکولهای آندوسیتوزی می‌باشند و پدیسل های مجزا دارند. سلوموساک لایبرنت به دو شکل مکعبی و استوانه ای بوده و دارای چین خوردگیهای غشایی پایه ای، وزیکول های رأسی، میکروویلی های رأسی و زوائد سیتوپلاسمی رأسی هستند. لوله ها شامل دو زیر واحد است (لوله های پروگریمال و دیستال) و سلولها دارای چین خوردگیهای غشایی پایه ای متصل به میتوکندری ها و سیتوپلاسم حاوی تعداد زیادی واکوئل و میتوکندری هستند. این سلولها قادر میکروویلی های رأسی بوده و همچنین خصوصیات منحصر به فرد در هر ناحیه دارند. آنزیم  $\text{Na}^+ - \text{K}^+$ ATPase از طریق ایمنوفلورسانس در لوله ها و سلوموساک مثانه مشاهده شد. یک رنگ پذیری فلورورسانسی ضعیف نیز در لایبرنت دیده شد ولی در سلوموساک هیچ گونه رنگ پذیری مشاهده نشد، سلوموساک لوله و مثانه از لحاظ ریخت شناسی و آنزیمی ماهیت یونوسیتی نشان می دهند، بنابراین غده های شاخکی *A. leptodactylus* توانایی تبادل فعلی یونها را دارند و در تنظیم اسمزی شرکت می کنند.

واژه های کلیدی: *Astacus leptodactylus*، غدد شاخکی، مکان یابی فعالیت  $\text{Na}^+ - \text{K}^+$ ATPase

\* نویسنده مسئول، تلفن تماس: 09144472033، پست الکترونیک: surp78@yahoo.com

### مقدمه

بر عکس اکثر بی مهرگان آب شور که فشار اسمزی مایعات بدن آنها با آب دریا هم فشار (Isosmotic) است در بی مهرگان آب شیرین از جمله *Astacus* فشار اسمزی مایعات بدن بیشتر از فشار اسمزی محیط است و به عبارت دیگر Hyper-osmotic هستند (16). در چنین شرایطی هجوم آب به بدن جانور از یک طرف و خارج کردن آب اضافی از طرف دیگر یونهای زیادی را از دست می دهند. لذا برای مقابله با این مشکلات *Astacus* سازشهای متعددی یافته است که از جمله می توان به داشتن یک اسکلت خارجی کیتینی کلسیفیه شده (جهت محدود کردن

غدد شاخکی در سخت پوستان به عنوان غدد وازنی یا دفعی که دفع مواد زائد آلی خون و مایعات بدن را بر عهده دارد شناخته شده است. با مطالعات انجام شده در برخی از گونه ها دخالت این غدد را در تنظیم اسمزی جانور می توان یافت (1, 4, 7, 8, 9, 15 و 20). در خرچنگ دراز آب شیرین با توجه به رنگ سبز بنام غدد سبز نیز شناخته Crayfish=Crawfish می شوند. خرچنگ دراز آب شیرین (Crawded=Ecrevisse =Decapode) می باشد که غالباً ساکن آبهای شیرین و محدود جمعیتهایی از آن در آبهای شور یافت می شود.

با لغزش بررسی نشده است، لذا این تحقیق با هدف بررسی ساختار غدد شاخکی با استفاده از میکروسکوپ نوری، الکترونی و همچنین مکان یابی آنزیم  $\text{Na}^+-\text{K}^+$ -ATPase و در نتیجه سلولهای یونوسیت به روش ایمنوهیستوشیمی انجام شده است.

### مواد و روشها

**هیستولوژی کلاسیک و ایمنوهیستوشیمی:** در ایران خرچنگ دراز آب شیرین سواحل و رودخانه‌های واقع در بخش غربی دریای خزر و همچنین تالاب انزلی گونه *Astacus leptodactylus* است که به برخی از رودخانه‌ها و سدهای مخزنی (مانند ارس) نیز رها سازی شده است. در فروردین ماه سال 1383 تعداد 25 قطعه خرچنگ دراز آب شیرین *A. leptodactylus* بالغ از بندر انزلی صید و به آزمایشگاه منتقل شد. با شکافتن ناحیه روستروم کارپاپس یک جفت غدد سبز (شاخکی) واقع در پایه شاخکها به دقت جداسازی و در محلول بوئن فیکس گردید. نمونه‌ها بعد از فیکس شدن جهت آبگیری و نگهداری در الكل اتابل 70 درصد قرار داده شد. مراحل آبگیری با استفاده از الكلهای 90، 95 و 100 درصد و نهایتاً با الكل بوتیلیک انجام گرفت. نمونه‌ها بعد از 9 ساعت نگهداری در داخل پارافین مایع (داخل اون با دمای 60 درجه سانتی گراد) قالب گیری و با میکروتوم برشهای 5 میکرومتری از آنها تهیه گردید. برشهای روی لامهای پلی-آل-لیزینه چسبانده و در اون 37 درجه سانتی گراد نگهداری شد. برای مطالعه ساختار بافت شناسی کلاسیک، لامها بوسیله هماتوکسالین و ائوزین رنگ آمیزی و با میکروسکوپ نوری مطالعه و عکس برداری شد (7 و 14). همچنین برای شناسایی و تشخیص ساختارهای غدد شاخکی و نامگذاری آنها از مأخذ جین شناسی غدد شاخکی در *A. leptodactylus* استفاده گردید (7 و 8).

مکان یابی آنزیم  $\text{Na}^+-\text{K}^+$ -ATPase با استفاده از آنتی کور IgG<sub>α5</sub> و میکروسکوپ نوری فلورسانس انجام گرفت.

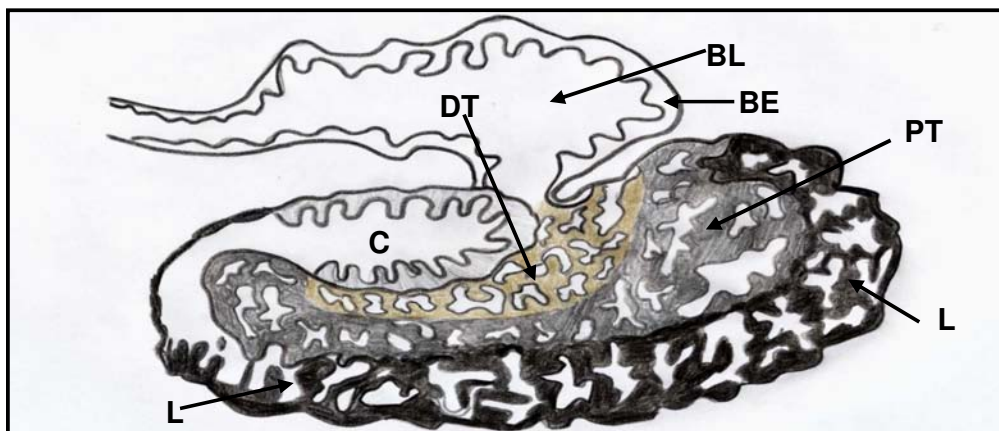
هجوم آب)، تولید یک ادرار رقيق توسط غدد شاخکی و همچنین تغییرات سلولهای اپیتلیال آبشش (جهت پایین آوردن نفوذ پذیری) اشاره کرد (13). تحقیقات نشان داده که تراز اسمولاریته همولوف در *Astacus leptodactylus* بالغ در حدود 415-420 میلی اسмол بر کیلوگرم بوده در حالیکه اسمولاریته آب شیرین معمولاً زیر 5 میلی اسмол بر کیلوگرم است، لذا این جانور یک تنظیم کننده اسمزی موفق می‌باشد (2).

در آبریان سلولهای دخیل در تنظیم فشار اسمزی سلولهای یونوسیت (سلولهای غنی از میتوکندری یا کلراید) بوده که با مجهر بودن به تراکم بالای پمپ سدیم - پتانسیم قادر به جابجایی یونها در خلاف شب غلط (یعنی به طریق انتقال فعال) هستند. این پمپ معمولاً در تمام سلولهای بدن وجود داشته و کنترل حجم سلولها یکی از مهم ترین اعمال آن می‌باشد. تراکم بالای این پمپ در سلولهای یونوسیت مسئول حفظ اختلاف غلط سدیم و پتانسیم در دو طرف غشاء سلول است و ضمناً پتانسیل الکتریکی منفی درون سلولها را برقرار می‌سازد (3).

پمپ  $\text{Na}^+-\text{K}^+$  از یک واحد پروتئینی شامل دو زیر واحد  $\alpha$  و  $\beta$  و همچنین یک بخش آنزیم (ATPase) تشکیل شده است. امروزه تکنیک مکان یابی این آنزیم یکی از مهم ترین و دقیق ترین روش برای شناسایی و پراکنش سلولهای یونوسیت در اندامهای مختلف است. آنزیم  $\text{Na}^+-\text{K}^+$ -ATPase به عنوان یک آنزیم اساسی در تنظیم یونی و آب در کلیه ماهیان (23 و 24) در آبشش و غدد شاخکی سخت پستان (7، 8، 11، 12، 16 و 22) در لوله‌های مالپیگی حشرات (10) شناخته می‌شود. اگرچه مطالعات خوبی روی ساختار غدد سبز و نقش آنها در تنظیم فشار اسمزی گونه‌های مختلف خرچنگ دراز آب شیرین و مراحل رشد اولیه *Astacus leptodactylus* صورت گرفته اما فراساختار، نقش و خصوصاً مکان یابی سلولهای یونوسیت به روش ایمنوهیستوشیمی در *A. leptodactylus* در

دو ساعت، 3-2 قطره از آنتی کور FITC (Flouorescein Isothiocyanate Conjugated) روی هر لام اضافه و به مدت یک ساعت در محیط کاملاً تاریک نگه داشته شد. سپس لامها در PBS آب کشیده شده و با استفاده از مایع مونتاز، مونتاز گردید. لامها بعد از قرار دادن لام روی آنها در جعبه های مخصوص چیده شده و برای حفظ خواص فلورسانسی در جای کاملاً تاریک نگهداری شد. لامها توسط میکروسکوپ نوری فلورسانس Leitz Diaplan Coupled to a Ploemopak 1- Lambda Lamp) با فیلترهای 490-450nm مشاهده و از آنها عکس برداری شد (8, 9, 10, 11 و 12).

برای مطالعه ایمونو هیستوشیمی، لامها بعد از پارافین زدایی در LMR و آبگیری در الکل اتانول، به ترتیب 1 دقیقه در محلول PBS (Phosphate Buffered Saline)، 10 دقیقه در محلول A (400 سی سی PBS ده میلی مول + 3/5 گرم کلرید سدیم) و 2 دقیقه در محلول B (50 درصد PBS و 50 درصد Regiler) قرار داده شدند. سپس لامها به مدت 2 دقیقه در محلول A آب کشیده و داخل یک جعبه حاوی هوای مرطوب، به طوری که سطح برشها به طرف بالا باشد، چیده شد. بر روی هر لام 3-2 قطره از آنتی کور IgG<sub>5</sub> رقیق شده در PBS اضافه و به مدت 2 ساعت در دمای اتاق نگه داری شد. بعد از سپری شدن این



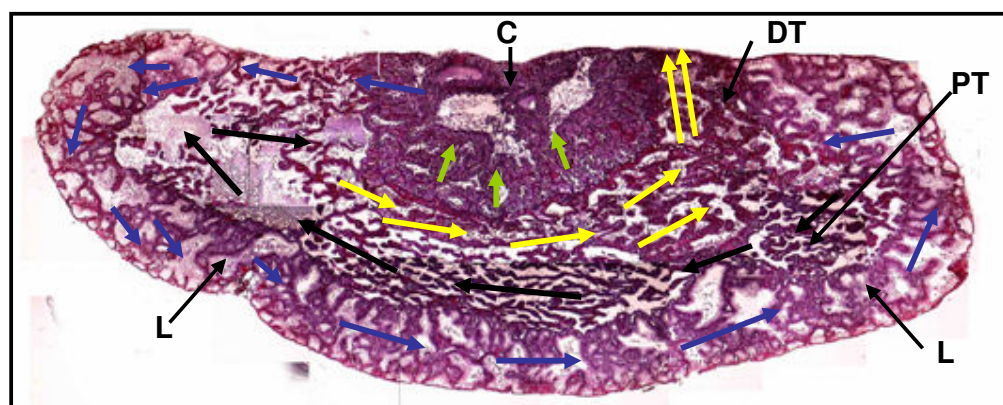
شکل ۱: طرحی از برش طولی از وسط یک غده شاخکی *Astacus*

فضایی اداری مثانه BE؛ بافت پوششی مثانه

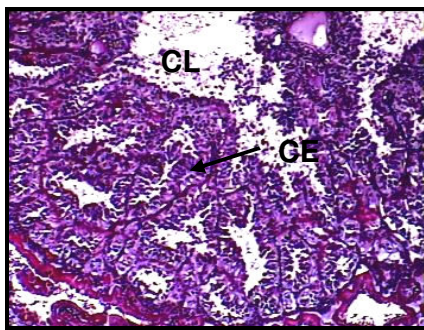
C: Coelomosac؛ DT: Distal Tubule؛ L: Labyrinth؛ PT: Proximal Tubule

شدن. نمونه ها سپس در سری الکل اتانول آب گیری شده در داخل Epon 812 قالب گیری شدند. از قالبها با استفاده از الترا میکروتونم Reichert OMU2 برشهای ظرفی به صخامت 90 نانومتر تهیه و پس از قرار دادن روی صفحات توری مسی (Grids) بوسیله استات اورانیل و سیترات سرب رنگ آمیزی شد. نمونه ها با میکروسکوپ الکترونی JEOL 1200EX2 مطالعه شده و از آنها عکس برداری انجام گردید (5, 7 و 9).

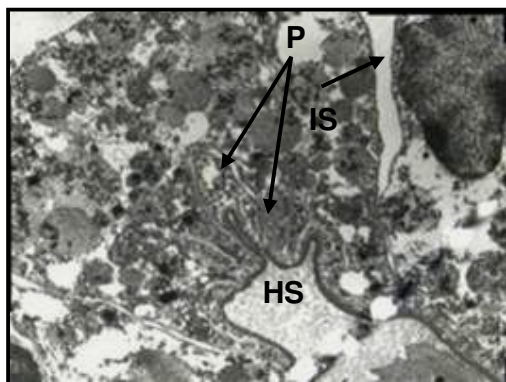
فراساختار: جهت مطالعه فراساختار سلولهای قسمتهای مختلف غدد شاخکی از میکروسکوپ الکترونی گذاره استفاده شد. بدین منظور بخشهای مختلف غدد شاخکی بعد از جداسازی دقیق به مدت 2 ساعت در محلول گلوتارآلدئید 0/5 درصد حاوی 0/2 مول بافر کاکودیلات سدیم با pH 7/4 ثبت شد. پس از آن نمونه ها در بافر کاکودیلات آب کشیده شده و در داخل مخلوط (V/V) 2 درصد تراکسید اسمیوم و 0/45 مول بافر کاکودیلات سدیم به مدت یک ساعت قرار داده



شکل 2: برش طولی یک غده شاخکی *Astacus* رنگ آمیزی شده با هماتوکسیلین و ائوزین  
C: Coelomosac; L: Labyrinth; PT: Proximal Tubule; سلوموساک؛  
لوله پروگریمال؛ DT: Distal Tubule؛ لایبرنت



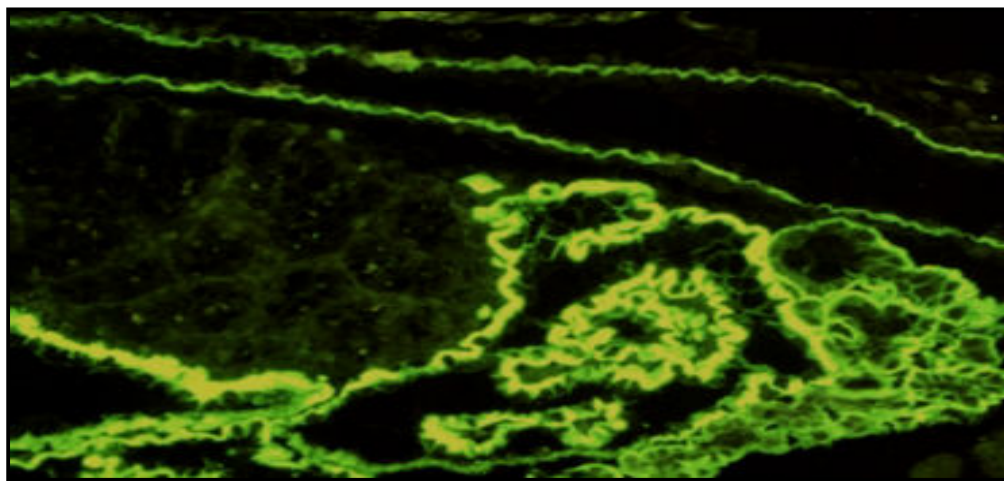
شکل 3: قسمتی از ناحیه سلوموساک غده  
بیرون زدگیهای سیتوپلاسمی CE: Cytoplasmic Extrusion  
SL: Coelomosac Lumen



شکل 4: یک سلول پودوسيت سلوموساک  
HS: Hemolymph Space; IS: Intercellular  
Space؛ پایکها P؛ فضای بین سلولی IS

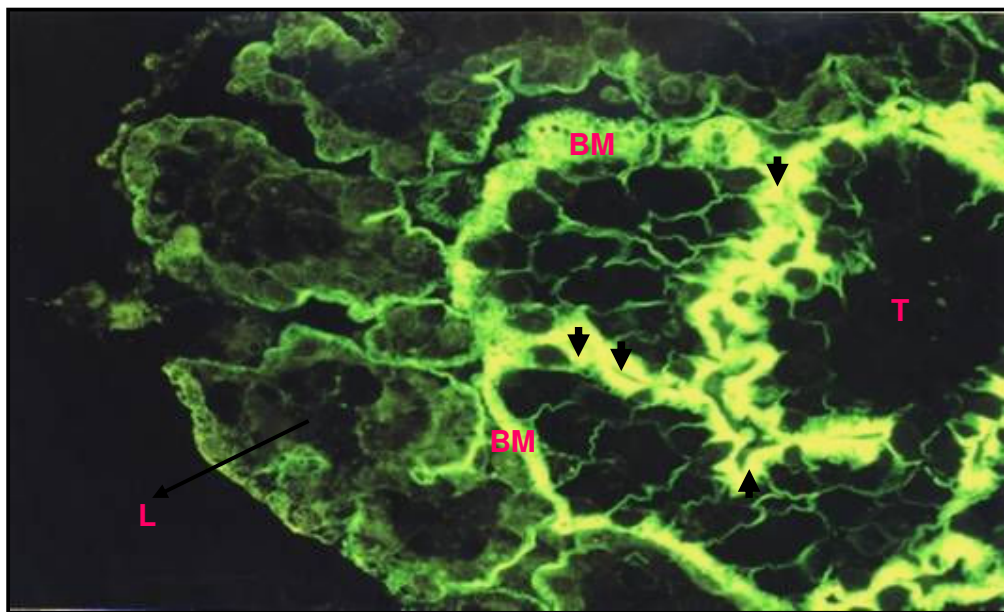
## نتایج

ساختار عمومی: غده شاخکی *Astacus* بصورت یک جفت غده در ناحیه کف بخش سر-سینه درست در پایه شاخکها قرار گرفته اند. هر غده شامل یک قسمت فشرده غده ای و یک مثانه حجمی می باشد که از طریق یک مجراء از ناحیه پایه ای شاخک به بیرون مربوط می شود (شکل 1). هر غده شامل یک بخش مزودرمی بنام سلوموساک و دو بخش اکتودرمی یعنی لایبرنت و لوله می باشد (شکلهای 1 و 2). ساختار سلوموساک شبیه کپسول بومن در مهره داران است (شکل 3). همولنف با استفاده از عروق به ناحیه سلوموساک انتقال داده شده، فیلتر می شود. سپس مایع صاف شده وارد لایبرنت شده و از آنجا وارد ناحیه لوله ای و در نهایت مثانه می گردد (شکل 2). ادرار در مثانه جمع و از مجرایی به بیرون دفع می شود (شکلهای 1 و 2). در لایبرنت بافت فشرده بوده و فضاهای ادراری کمتر و کوچکتر می باشند (شکلهای 7 و 8). ناحیه لوله ای از دو بخش I و II تشکیل شده است و فضاهای ادراری در لوله اول وسیع تر از لوله دوم است (شکلهای 2 و 12 و 13).



شکل ۵: قسمتهای مختلف یک غده شاخکی *Astacus* سلوموساک رنگ پذیری فلورسانسی از خود نشان نمی دهد. مقدار کمی رنگ پذیری فلورسانس در ناحیه لابرنت دیده می شود. رنگ پذیری قابل ملاحظه ای در بخش لوله ای و مثانه دیده می شود.

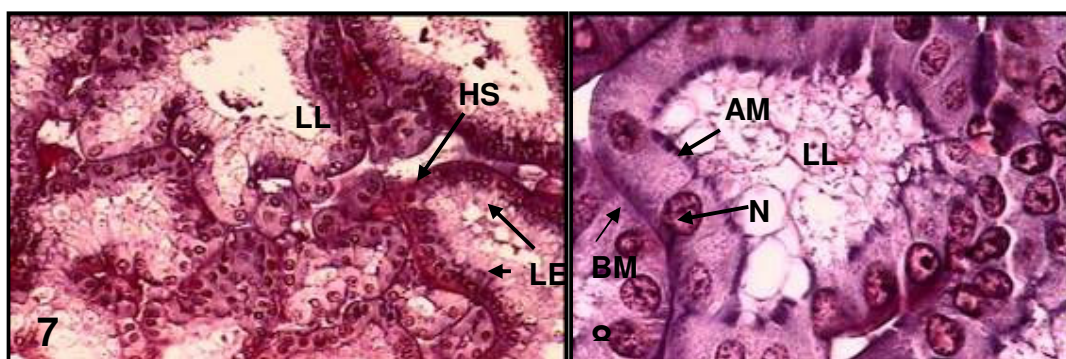
BE: Bladder Epithelium ; C: Coelomosac ; L: Labrynth ; T: Tubule



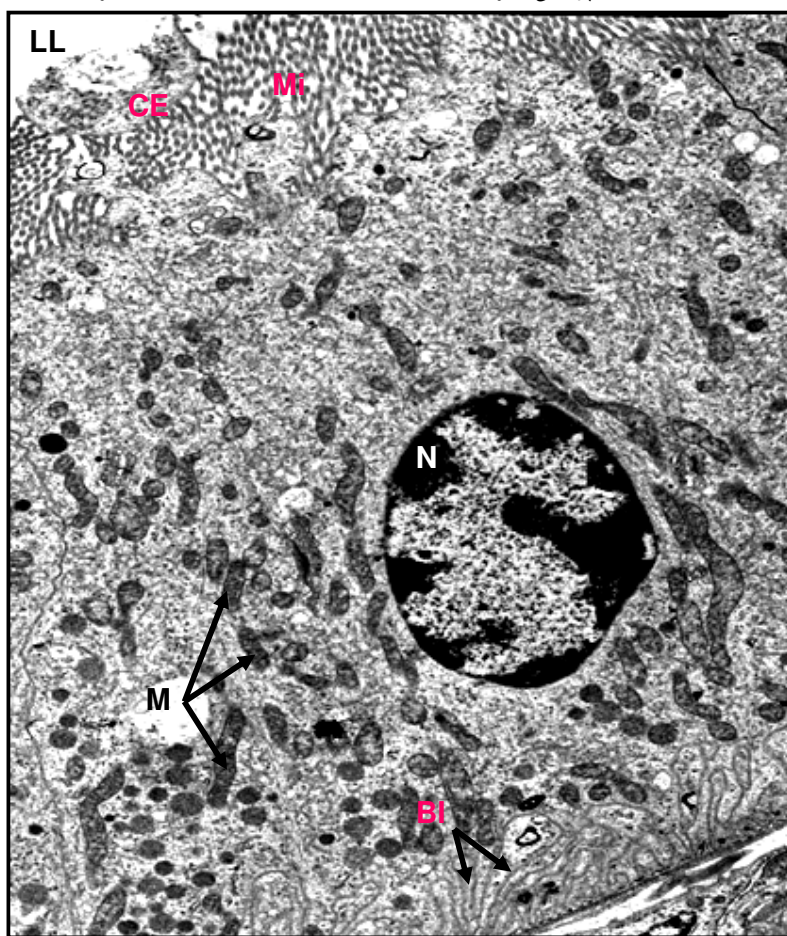
شکل ۶: قسمتی از شکل ۵ را با بزرگنمایی بیشتر نشان می دهد.

غشاء قاعده ای ; BM: Basal Membrane ; L: Labyrinth ; T: Tubule

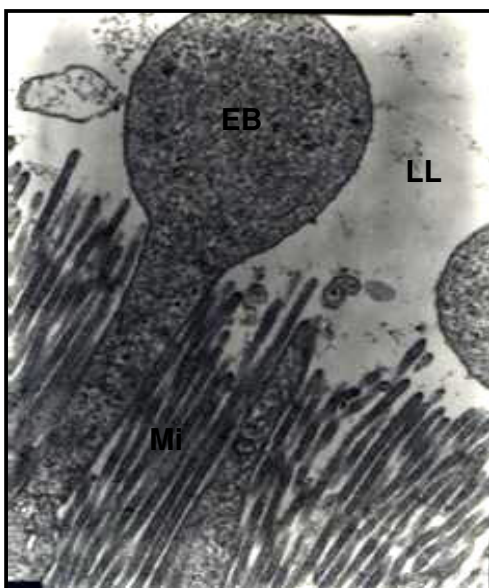
مکان یابی آنزیم  $\text{Na}^+-\text{K}^+$ -ATPase : استفاده از آنتی  $\text{Na}^+-\text{K}^+$ -ATPase کورهای IgG $\alpha_5$  و FITC موجب ظاهر شدن آنزیم  $\text{Na}^+-\text{K}^+$ -ATPase به صورت فلورسانس در مکانهایی که حضور دارد، می شود. نتایج استفاده از آنتی کورها نشان داد که در غدد شاخکی *Astacus* سلولهای سلوموساک هیچ واکنش فلورسانسی از خود نشان نمی دهند (شکل ۵) و یا فعالیت آنزیم  $\text{Na}^+-\text{K}^+$ -ATPase قابل ملاحظه ای در آنها دیده نمی شود. واکنش رنگ پذیری ضعیف از این آنزیم در ناحیه لابرنت غدد مشاهده گردید (شکل ۶). در ناحیه لوله ای و مثانه غدد شاخکی *Astacus* سلوموساک رنگ پذیری بیشتر و متراکمی نشان دادند (شکلهای ۵ و ۶). در تمام مواردی که این آنزیم حضور داشت ناحیه قاعده ای-جانبی سلولها غلاظت و تراکم بالایی از این آنزیم را نشان دادند (شکل ۶).



اشکال 7 و 8: قسمتی از ناحیه لایبرن特 یک غده رنگ آمیزی شده با هماتوکسیلین و انوزین  
؛ غشای انتهایی HS: Hemolymph Space ; BM: Basal Membrane AM: Apical Membrane  
؛ بافت پوششی لایبرن特 LE: Labyrinth Epithelium ; N: Nucleus هسته  
فضای اداری لایبرن特

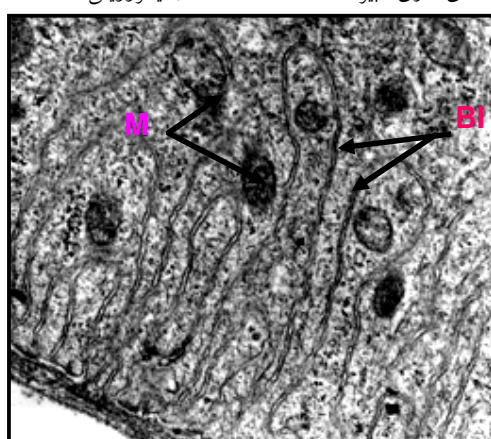


شکل 9. فرا ساختار یک سلول مکعبی بخش لایبرن特.  
CE: Cytoplasmic Extrusion BI: Basal Infoldings  
فرورفتگیهای قاعده ای؛ بیرون زدگیهای سیتوپلاسمی؛  
M: Mitochondria Mi: Microvilli M: Mitochondria  
فضای اداری لایبرن特 ; LL: Labyrinth Lumen  
هسته میکروویلی N: Nucleus



شکل 10: فراساختار ناحیه انتهایی یک سلول استوانه‌ای بخش لابرینت

; LL: Labyrinth Lumen; EB: Excretory Bubbles ; Mi: Microvilli



شکل 11: فراساختار ناحیه قاعده‌ای یک سلول استوانه‌ای بخش لابرینت

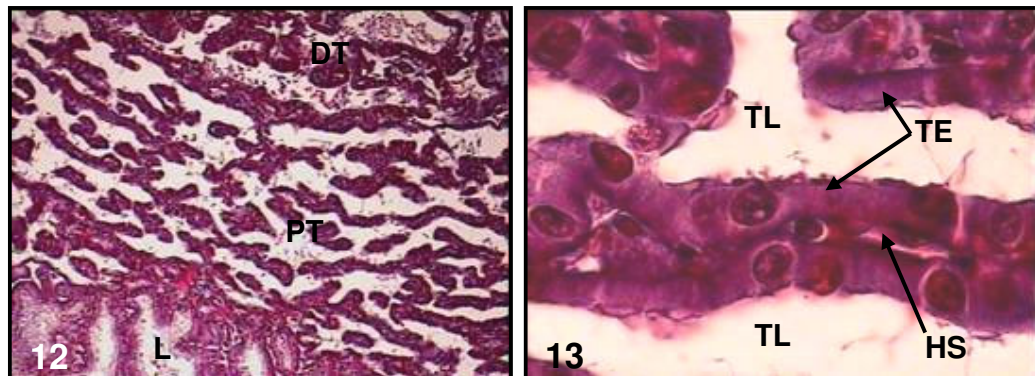
M: Mitochondria BI: Basal Infoldings  
فرورفتگیهای قاعده‌ای ; میتوکندری

بخش لوله‌ای غدد از دو بخش لوله I (Proximal) و لوله II (Distal) تشکیل شده است. سلولهای لوله‌ای عاری از میکروویلی هستند. فضاهای ادراری در لوله I بیشتر از لوله II است (شکل‌های 12 و 13). در بخش لوله پروگریمال سلولهای مکعبی شکل، هسته مرکزی با یک سیتوپلاسم همگن با تعداد کمی اندامک و وزیکول در ناحیه رأسی

فرا ساختار: مطالعه فراساختار سلولهای مناطق مختلف غدد شاخکی *Astacus* با استفاده از میکروسکوپ الکترونی نشان داد که سلولها اختصاصات متفاوتی نسبت به یکدیگر دارند. سلولهای سلوموساک در ناحیه قاعده ای با پایکهای انگشتی با یکدیگر و همچنین با غشای پایه رگها در ارتباط هستند (شکل 4). این عمل سطح تماس بین همولف و سلولهای سلوموساک را افزایش می دهد. این سلولها دارای دستگاه گلژی، واکوئل و حتی وزیکولهای آندوسیتوزی می باشند (شکل 4). بافت پوششی ناحیه لابرینت فشرده و دارای فضاهای ادراری محدودی بوده (شکل 2) که این فضاهای ادراری معمولاً از مواد مترشحه کروی شکل که توسط سلولها ترشح می شود پر شده است (شکل‌های 7 و 8). از نظر فراساختاری سلولهای ناحیه لابرینت متفاوت از سلولهای سلوموساک می باشند. مشاهدات نشان داد که دو نوع سلول (سلول مکعبی شکل و سلول استوانه ای) در لابرینت قابل تشخیص است. سلولهای مکعبی شکل (شکل 9) که دارای هسته در ناحیه قاعده ای، میکروویلی ها در بخش انتهایی و بیرون زدگیهای سیتوپلاسمی رأسی می باشند. نظم و ترتیب میکروویلی ها معمولاً توسط این بیرون زدگیهای سیتوپلاسمی به هم خورده است. درسیتوپلاسم سلولها تعداد زیادی میتوکندری و همچنین وزیکول های آندوسیتوزی در بخش انتهایی سلول دیده می شود (شکل 9).

سلولهای استوانه ای دارای میکروویلی های انتهایی توسعه یافته و منظم هستند. از بین میکروویلی ها وزیکولهای ترشحی حبابی شکل بزرگی سلول را ترک کرده و وارد فضای ادراری می شوند (شکل 10). در قسمت غشای پایه ای سلولها، فرورفتگیهای نامنظم همراه با تعداد محدودی میتوکندری دیده می شود (شکل 11).

شود (شکل 14). سلولها در ناحیه قاعده ای فرورفتگیهای نامنظم و متعدد و عمیقی همراه با میتوکندریها دارند (شکل 15).

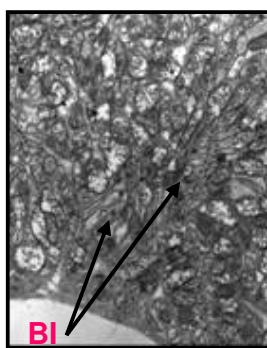


اشکال 12 و 13: قسمتی از ناحیه لوله ای یک غده رنگ‌آمیزی شده با هماتوکسیلین و انوزین

L: Labirynth ; HS: Hemolymph Space ; DT: Distal Tubule

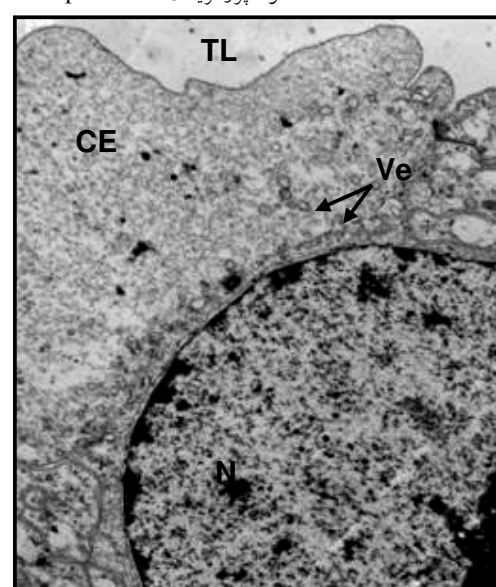
؛ بافت پوششی لوله ; TL: Tubule Lumen ; TE: Tubule Epithelium ; PT: Proximal Tubule

غشای قاعده ای این سلولها فرورفتگیهای منظم و وسیعی با تعداد زیادی میتوکندری دارد. این میتوکندریها کشیده بوده با فرورفتگیهای غشای قاعده ای در ارتباط نزدیک می باشند (شکل 16).



شکل 15: فرا ساختار ناحیه قاعده ای یک سلول بخش لوله پروگریمال یک غده BI: Basal Infoldings فرورفتگیهای قاعده ای مثانه متشکل از یک لایه منفرد از سلولهای پوششی (Epithelium) که توسط غلافی از بافت پیوندی (Epithelium) پوشیده شده می باشد (شکل‌های 17 و 18). سلولها عاری از میکروولوژیته بوده و ناحیه رأسی سلولها به طرف فضای ادراری مثانه بر آمده می باشد (شکل 19). هسته سلولها مرکزی بوده و سیتوپلاسم را به دو بخش مجزا می کند (شکل 19). بخش پایه ای سلولها دارای تعداد

وجود دارد (شکل 14). در ناحیه انتهایی گاهی سلول به طرف مجرای داخل لوله (Lumen) تحدب پیدا کرده و برخی اوقات بیرون زدگیهای سیتوپلاسمی نیز دیده می



شکل 14: فرا ساختار ناحیه انتهایی یک سلول بخش لوله پروگریمال یک غده: CE: Cytoplasmic Extrusion بیرون زدگیهای سیتوپلاسمی ; N: Nucleus هسته TL: Tubule Lumen (ادراری) لوله Ve: Vesicle ; وزیکول

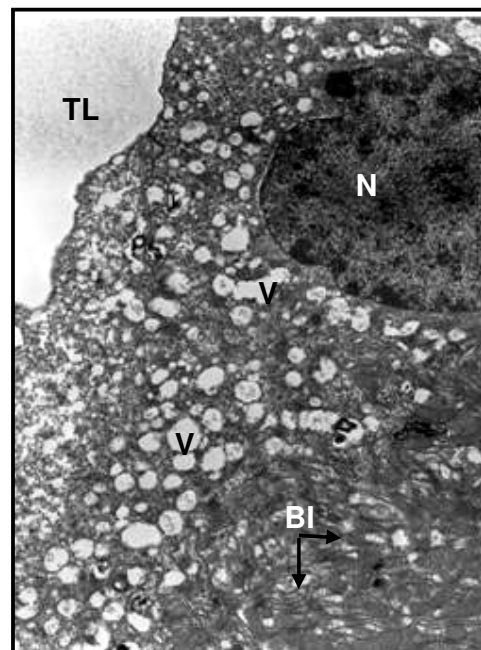
در بخش لوله دیستال، سلولها بزرگ، استوانه ای با یک هسته مرکزی هستند و سیتوپلاسم دارای تعداد زیادی واکوئل های سفید رنگ در بخش رأسی است (شکل 16). فضای ادراری در این بخش از لوله باریک و محدود شده

سلولهای پودوسیت کپسول بومن مهره داران است. مشاهدات فراساختاری و خصوصاً عدم حضور آنزیم  $\text{Na}^+-\text{K}^+$ ATPase مبین شرکت فعال آنها در عمل فیلتراسیون همولنف می‌باشد. یعنی همان وظیفه ای که سلولهای پودوسیت کپسول بومن انجام می‌دهند. تحقیقات گذشته روی برخی از سخت پوستان نشان داده که سلولهای سلوموساک فعالیت فیلتراسیون بالا و ترشح را همانند پودوسیتها نفرون مهره داران از خود نشان می‌دهند به طوری که فعالیت ترشحی این سلولها به فرم حباب از آنها خارج شده و جزئی از ادرار می‌شود (17، 16 و 21).

اندازه گیری فعالیت آنزیم  $\text{Na}^+-\text{K}^+$ ATPase در غده‌های *P. blandengi* و *Procambarus clarcki* شاخصی دو گونه پایین ترین فعالیت آنزیم را نشان داده که سلوموساک پایین ترین فعالیت آنزیم را نسبت به سایر نواحی غده نشان می‌دهد (6). همچنین نتایج تحقیقات روی مکان یابی آنزیم  $\text{Na}^+-\text{K}^+$ ATPase در مراحل رشد جنینی *Astacus* و در افراد بالغ خرچنگ دراز دریابی (*Homarus gammarus*) نشان داده که حضور این آنزیم در بخش سلوموساک غدد شاخصی نامحسوس است (9 و 8) نتایج فوق با نتایج ایمنوهیستوشیمی تحقیق حاضر مطابقت دارد.

ویژگیهای فراساختاری خاص سلولهای لابرینت در *Astacus* از قبیل: میکروولی‌ها، وزیکول‌ها، برجستگی‌ها، بیرون زدگی سیتوپلاسمی انتهایی، حبابهای ترشحی، میتوکندری‌های فراوان و واکوئل‌ها می‌باشند. سلولها در جذب مواد حیاتی صاف شده توسط سلوموساک و همچنین دفع مواد زاید همولنف می‌باشد. حضور کم آنزیم  $\text{Na}^+-\text{K}^+$ ATPase نقش کم این قسمت غده در امر تنظیم یونی را بیان می‌کند. نتایج تحقیقات روی سایر گونه‌ها نقش سلولهای لابرینت در جذب گلوكز، اسید آمینه‌ها و سایر اسید‌های آلی و همچنین دفع مواد زائد را نشان داده است (25 و 19).

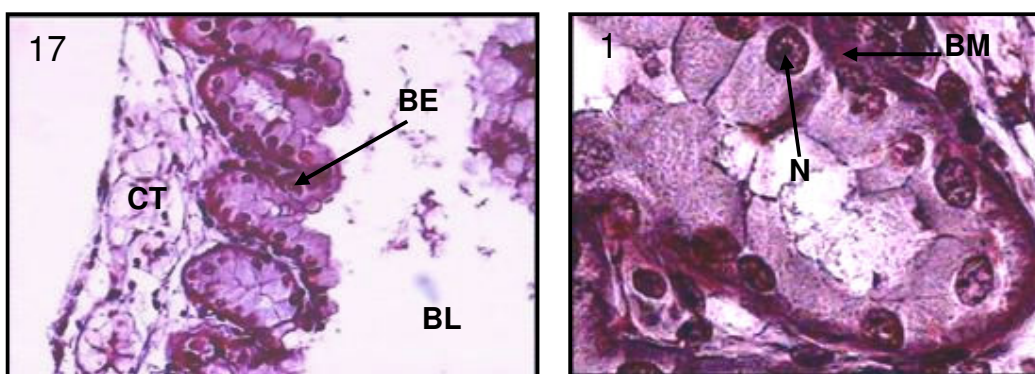
خیلی زیادی فرورفتگیهای غشای قاعده ای بوده که با تعداد زیادی میتوکندری‌های ریز و متراکم همراه شده و سیتوپلاسم بالای هسته که حاوی تعداد زیادی واکوئل‌های سفید رنگ است به صورت روشن‌تر دیده می‌شود. (شکل 19).



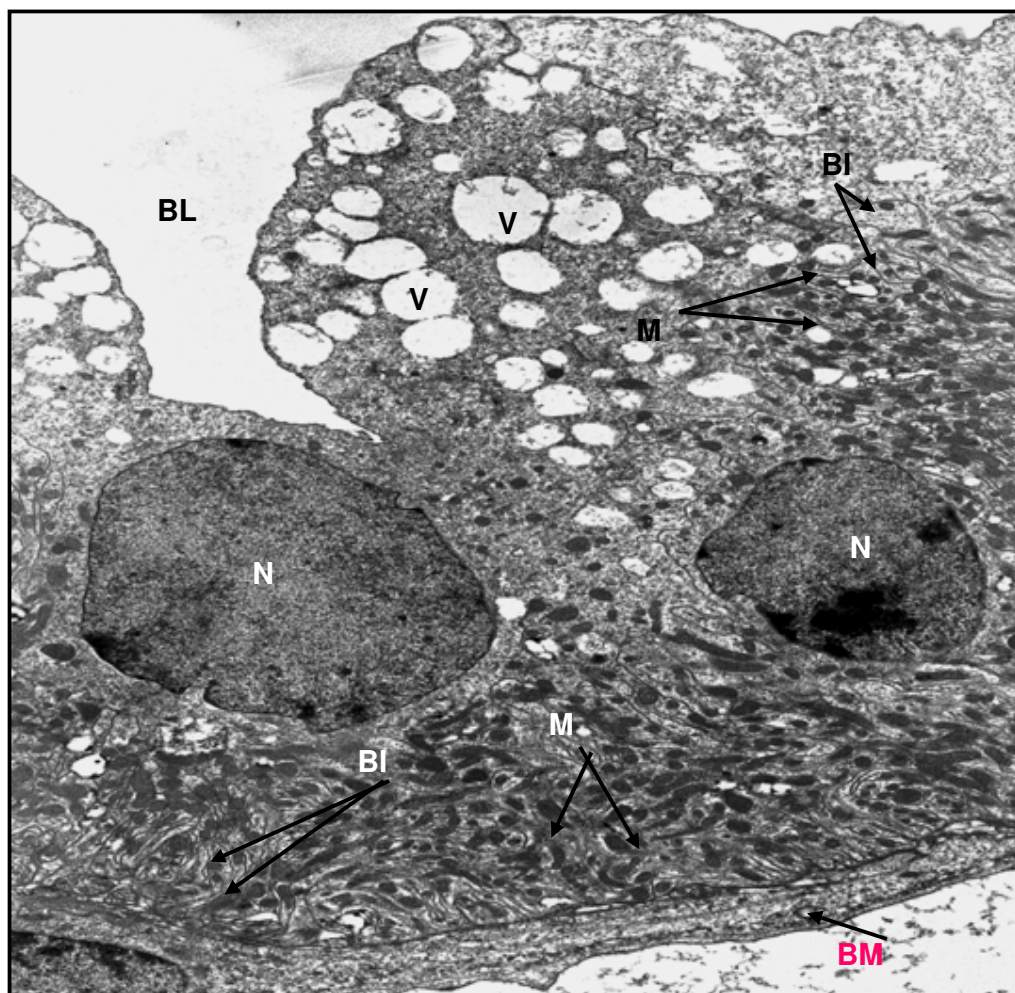
شکل 16: فراساختار یک سلول بخش لوله دیستال یک غده فرورفتگیهای قاعده ای؛ N: Nucleus؛ BI: Basal Infoldings؛ V: Vacuole؛ TL: Tubule Lumen

## بحث

مطالعات حاضر روی غدد شاخصی *Astacus leptodactylus* نشان داد که هر غده از یک بخش غده ای شامل سلوموساک، لابرینت و لوله تشکیل شده است. یک مثانه وسیع روی غده را می‌پوشاند و هر مثانه بوسیله یک مجرأ که منفذ آن در قاعده شاخصکها قرار دارد به بیرون مرتبط است. ساختار کلی هر غده معادل یک نفرون در مهره داران است. به این صورت که سلولهای سلوموساک با داشتن فضاهای بین سلولی وسیع، پایکهای انگشتی زیاد (pedicels)، اجسام متراکم، وزیکول‌ها و واکوئل‌ها معادل



شکل 17 و 18: قسمتی از مثانه یک غده رنگ آمیزی شده با هماتوکسولین و انوزین  
غشای قاعده‌ای؛ بافت پوششی مثانه Lumen؛ BL: Bladder Epithelium؛ BM: Basal Membrane  
فضای اداری مثانه بافت پیوندی؛ CT: Connective Tissue  
N: Nucleus



شکل 19: فرا ساختار دو سلول بافت پوششی قسمت مثانه یک غده  
فرورفتگیهای قاعده‌ای Lumen؛ BL: Bladder Epidermis؛ BM: Basal Membrane  
فضای اداری مثانه BI: Basal Infoldings؛ BM: Basal Membrane؛ غشای قاعده‌ای؛  
M: Mitochondria؛ V: Vacuole؛ N: Nucleus

فراساختار و نقش مثانه در جذب یونها کمتر مورد توجه قرار نداشتند و ناحیه قاعده ای واقع شده و این بخش غده به عنوان محل تجمع و دفع ادرار شناخته شده است. اما بررسیهای فراساختاری و مکان یانی آنزیم  $\text{Na}^+ \text{-K}^+$ -ATPase در تحقیق حاضر نشان داد که نقش مثانه فراتر از نگهداری ادرار بوده و بافت پوششی دیواره آن نقش مهمی در بازجذب یونها و خروج آب دارد. نتیجه گیری کلی اینکه در *Astacus leptodactylus* هر غده از بخش‌های سلوموساک، لایبرنت (با دو نوع سلول)، لوله ای (با دو بخش) و مثانه تشکیل شده است. همولف توسط سلولهای سلوموساک فیلتر شده و مایع صاف شده وارد لایبرنت می‌گردد. در لایبرنت مواد حیاتی موجود در مایع صاف شده بازجذب و مواد زائد مانده در همولف ترشح می‌گردد. مایع صاف شده سپس وارد لوله شده که علاوه بر نقش ترشح مواد زائد در باز جذب یونها نیز دخالت دارد. بیشترین اعمال مربوط به باز جذب یونها را لوله انجام داده و در واقع تشکیل ادرار واقعی از این قسمت شروع شده و در بخش مثانه کامل می‌شود.

سلولهای لوله ای قادر میکروویلی هستند و ناحیه قاعده ای آنها، جهت افزایش سطح تبادلات، فرورفتگیهای وسیعی پیدا کرده و با تعداد زیادی میتوکندری همراه شده اند. آنزیم  $\text{Na}^+ \text{-K}^+$ -ATPase با تجمع قابل ملاحظه ای در روی این فرورفتگها حضور دارد. براساس مختصات فراساختاری و حضور آنزیم می‌توان گفت که سلولهای لوله ای دارای اختصاصات سلولهای یونوسیت بوده و نقش مهمی در باز جذب یونها ایفا می‌کند. به نظر می‌رسد از میان سلولهای لوله ای نیز سلولهای لوله ای II نقش بیشتری در باز جذب یونها و در نهایت در تنظیم اسمزی داشته باشد. نقش سلولهای لوله ای در بازجذب یونها مانند سدیم و کلر و تشکیل ادرار رقیق در برخی از گونه‌های سخت پستان قبلاً نیز گزارش شده است (18، 25 و 26).

اختلافات سلولهای مثانه ای نیز مبین حضور یونوسیت ها بودند. ضمناً وجود واکوئل های سفید و فراوان در ناحیه بالای هسته ای نقش این سلولها در دفع آب اضافی وارد شده به بدن را آشکار می‌سازد. در تحقیقات گذشته مطالعه

## منابع

- Anderson, E.; Beams, H.W., 1956. Light and electron microscopic studies on the cells of the labyrinth in the green gland" of *Cambarus* sp. Iowa Acad Sci. Vol. 63. Pp.681-685.
- Charmantier, G.; Hoand, C.; Lignot, J.H. and Charmantier-Daures, M., 2001. Ecophysiological adaptation to salinity throughout a life cycle: a review in Homarid lobsters. J. Exp. Biol. Vol.204. Pp.967-977.
- De Renzis, G. and Bornanvin, M. , 1984. Fish physiology, gills, XB. Academic Press, Orlando, Pp.65-104.
- Fuller, E.G.; Highison, G.J.; Brown, F. and Bayer, C., 1989. Ultrastructure of the crayfish antennal gland revealed by scanning and transmission electron microscopy combined with ultrasonic microdissection. J. Morph. Vol.200. Pp. 9-15.
- Glauret, M. A., 1974. Practical Methods in Electron Microscopy, North Holland Publishing-Amsterdam. Oxford, Vol. 3. Pp.353.
- Kamemoto, F.I. and Tullis, R.E., 1972. Hydromineral regulation in Decapoda Crustacea. Gen. Comp. Endocrinol. Vol. 3. Pp.299-307.
- Khodabandeh, S.; Charmantier, G.; Blasco, C.; Grousset, E. and Charmantier-Daures, M. , 2005a. Ontogeny of the antennal glands in the crayfish, *Astacus leptodactylus* (Crustacea, Decapoda): anatomical and cell differentiation. Cell Tissue Res. Vol. 319. Pp.153-165.
- Khodabandeh, S.; Kutnik, M. ; Aujoulat, F. ; Chartmantier, G. and Charmantier-Daures, M. , 2005b. Ontogeny of the antennal glands in the Crayfish, *Astacus leptodactylus* (Crustacea, Decapoda): immunolocalization of  $\text{Na}^+$ ,  $\text{K}^+$ -ATPase. Cell Tissue Res. Vol. 319. Pp.167-174.
- Khodabandeh, S.; Charmantier, G. and Charmantier-Daures, M. , 2005c. Ultrastructural studies and  $\text{Na}^+, \text{K}^+$ -ATPase immunolocalization in the antennal urinary glands of the lobster *Homarus gammarus* (Crustacea, Decapoda). J.

- Histochem. Cytochem. Vol. 53 (10). Pp.1203-1214.
10. Khodabandeh, S., 2005.  $\text{Na}^+,\text{K}^+$ -ATPase in the gut of the Zygoptera *Ischnura elegans* and Anisoptera *Libellula lydia* larvae (Odonata): activity and immunocytochemical localization. J. Zool. Studies. Vol. 45(4). Pp. 510-516.
  11. Lignot, J.H.; Charmantier-Daures, M. and Charmantier, G., 2001. Immunolocalization of  $\text{Na}^+,\text{K}^+$ -ATPase in the organs of the branchial cavity of the European Lobster *Homarus gammarus* (Crustacea, Decapoda). Cell Tissue Res. Vol. 296. Pp.417-426.
  12. Lignot, J.H.; Sunsanto, G.N.; Charmantier-Daures, M. and Charmantier, G., 2005. Attention:Immunolocalization of  $\text{Na}^+,\text{K}^+$ -ATPase in the branchial cavity during the early development of the crayfish *Astacus leptodactylus* (Crustacea, Decapoda). Cell Tissue Res. Vol. 319. Pp.331-339.
  13. Mantel, L.H. and Farmer, L.L., 1983. Osmotic and ionic regulation. In Bliss DE, ed. The biology of crustacea, Vol 5. Internal Anatomy and physiological Regulations. Academic Press, London.
  14. Martoja, R. and Martoja-Pierson, M., 1967. Initiation aux techniques de histologie animale. Masson et Cie, Paris, p. 345.
  15. Miyawaki, M. and Ura, T., 1969. Absorption and secretion of experimentally injected protein silver by kidneys cells of the crayfish. Ann. Zoo. Jpn. Vol. 42. Pp.56-62.
  16. Pequeux, A., 1995. Osmotic regulation in crustaceans. J. Crust. Biol. Vol. 15. Pp.1-60.
  17. Peterson, D.R. and Loizzi, R.F., 1975. Biochemical and cytochemical investigation of  $\text{Na}^+,\text{K}^+$ -ATPase in the crayfish kidney. Comp. Biochem. Physiol. Vol. 49A. Pp.763-773.
  18. Riegel, J.A. and Cook, M.A., 1975. Recent studies of excretion in crustaceans. Fortschr. Zool. Vol. 23. Pp.48-75.
  19. Sarver, G.L.; Flynn, M.A. and Holliday, C.W., 1994. Renal  $\text{Na}^+,\text{K}^+$ -ATPase and osmoregulation in the crayfish *Procambarus clarkii*. Comp. Biochem. Physiol. Vol. 107A. Pp.349-356.
  20. Schaffner, A. and Rodewald, R., 1978. Filtration barriers in the coelomcsac of the crayfish, *Procambarus clarkii*. J. Ultrasructure. Res. Vol. 65. Pp.36-47.
  21. Sesma, P.; Bayona, C.; Villaro, A.C. and Vazquez, J.J., 1983. A microscopic study on the antennal gland of *Antrapotamobius ballines* (Crustacea, Decapoda). MORFOL NORM PATOL. Vol. 7. Pp.289-301.
  22. Susanto, G.N. and Charmantier, G., 2000. Ontogeny of osmoregulation in the crayfish *Astacus leptodactylus*. Physiol. Biochem. Zool. Vol. 73. Pp.169-176.
  23. Varsamos, S., Nebel, C. and Charmantier, G. 2005. Ontogeny of osmoregulation in postembryonic fish: A review, Comp. Biochem. Physiol. Vol. 141(4). Pp. 401-429.
  24. Venturini, G.; Cataldi, E.; Marino, G.; Pucci, P.; Garibaldi, L. and Bronzi, P. and Cataudellas, S., 1992. Serum ions concentration and ATPase activity in gills, kidney and oesophagus of European sea bass (*Dicentrarchus labrax*), during acclimation trials to freshwater. Comp. Biochem. Physiol. Vol. 103. Pp.451-454.
  25. Vogt, G., 2002. Functional Anatomy. In Holdich DM, ed. Biology of freshwater crayfish. Blackwell Science, Oxford.
  26. Wheatley, M.G. and Gannon, T.A., 1995. Ion regulation in crayfish:freshwater adaptations and the problem of molting. Am. Zool. Vol. 35. Pp.49-59.

## Ultrastructural Studies and Function of Green Glands (Antennal Glands) in Crayfish *Astacus leptodactylus*

Khodabandeh S. and Shokri N.

Faculty of Marine Science, Tarbiat Modarres University, Noor, I.R. of Iran

### Abstract

In this study, the general morphology, ultrastructure of the cells and the localization of  $\text{Na}^+ - \text{K}^+$ ATPase were examined in the antennal glands of *Astacus leptodactylus*. Each gland is composed of four units, including the coelomosac, the labyrinth, the tubule and a voluminous bladder, linked by a short duct to the urinary pore. Ultrastructural observations have shown that the cells of coelomosac possess podocytic feature. These cells have Golgy complex systems, vacuoles, endocytotic vesicles and they possess distinctive pedicels. The labyrinth cells (cuboidal and columnar cells) present basal membrane infoldings, apical vesicles, apical microvilli and apical cytoplasmic extrusions. The tubule is consist of two sub-unit (proximal and distal tubules) and the cells present in common basal membrane infoldings associated with mitochondria, and cytoplasm including numerous vacuoles and mitochondria. These cells have not apical microvilli and they also present distinctive characters in each sub-unit.  $\text{Na}^+ - \text{K}^+$ ATPase was detected through immunofluorescence in the tubule and bladder cells with an increasing concentration. A weak fluorescence was also shown in labyrinth and no immunofluorescence was detected in the coelomosac. The cells of the tubules and the bladder present morphological and enzymatic feature of ionocytes. Thus, the antennal glands of the *A. leptodactylus* possess active ion exchanges capabilities and participates in osmoregulation.

**Key words:** *Astacus leptodactylus*, Antennal glands, Immunolocalization,  $\text{Na}^+ - \text{K}^+$ ATPase